

## ЛИТЕРАТУРА

1. Мержанов А. Г., Посецельский А. П., Столин А. М., Штейнберг А. С. Экспериментальное осуществление гидродинамического теплового взрыва.—«Докл. АН СССР», 1973, т. 210, № 1.
2. Мержанов А. Г., Столин А. М. и др. Авт. свид. № 473 934.—«Окрытия, изобретения, промышленные образцы, товарные знаки», 1975, № 22.
3. Мержанов А. Г., Столин А. М. К тепловой теории течения вязкой жидкости.—«Докл. АН СССР», 1971, т. 198, № 6.
4. Бостанджиан С. А., Мержанов А. Г., Пручкина Н. М. Тепловой взрыв при течении вязкой жидкости.—ПМТФ, 1968, № 5.
5. Бостанджиан С. А., Мержанов А. Г., Худяев С. И. Некоторые задачи о неизотермическом стационарном течении вязкой жидкости.—ПМТФ, 1965, № 5.
6. Яблонский В. С., Каганов С. А. Течение Куэтта с учетом зависимости вязкости от температуры и теплоты трения.—«Изв. высш. учеб. заведений. Нефть и газ», 1958, № 5.
7. Френкель Я. И. Кинетическая теория жидкостей. М., Изд-во АН СССР, 1959.
8. Столин А. М., Бостанджиан С. А., Плотникова П. В. Критические условия гидродинамического теплового взрыва при течении степенной жидкости.—В кн.: Тепло- и массообмен — V. Т. VII. Минск, 1976.
9. Мержанов А. Г., Столин А. М., Шаталов Б. Н. Неизотермический метод исследования реологических свойств текучих систем в ротационной вискозиметрии.—В кн.: Тепло- и массообмен — V. Т. VII. Минск, 1976.
10. Мержанов А. Г., Абрамов В. Г., Гонтковская В. Т. О закономерностях перехода от самовоспламенения к зажиганию.—«Докл. АН СССР», 1963, т. 148, № 2.
11. Кондратьев Г. М. Тепловые измерения. М.—Л., Машгиз, 1957.
12. Франк-Каменецкий Д. А. Теплопередача и диффузия в химической кинетике. М., «Наука», 1974.

УДК 536.25

**ТЕПЛОВАЯ ЛАМИНАРНАЯ КОНВЕКЦИЯ ЖИДКОСТИ  
В КОЛЬЦЕВОЙ ОБЛАСТИ  
ПРИ ЗАДАННОМ ПОТОКЕ ТЕПЛА**

В. А. Брайловская, Г. Б. Петражицкий

(Горький)

Рассмотрим нестационарный процесс течения и теплообмена вязкой несжимаемой жидкости в горизонтальном кольцевом канале при наличии постоянного теплового потока на его внешней поверхности.

Исследование проводится на основе численного решения системы двумерных нестационарных уравнений движения, неразрывности и энергии, которая имеет в полярной системе координат следующий вид [1]:

$$\frac{\partial f}{\partial \tau} + \frac{1}{\tau} \left( \frac{\partial F}{\partial \varphi} \frac{\partial f}{\partial r} - \frac{\partial F}{\partial r} \frac{\partial f}{\partial \varphi} \right) = \Pr \nabla^2 f + \Gr \Pr^2 \left( \frac{1}{r} \frac{\partial \Theta}{\partial \varphi} \sin \varphi - \frac{\partial \Theta}{\partial r} \cos \varphi \right),$$

$$\frac{\partial \Theta}{\partial \tau} + \frac{1}{r} \left( \frac{\partial F}{\partial \varphi} \frac{\partial \Theta}{\partial r} - \frac{\partial F}{\partial r} \frac{\partial \Theta}{\partial \varphi} \right) = \nabla^2 \Theta, \quad f = \nabla^2 F,$$

где  $F$  и  $f$ — безразмерные функции тока и завихренности соответственно;  $r_i = R_i/\delta$ — безразмерные радиусы внутреннего ( $i = 1$ ) и внешнего ( $i = 2$ ) цилиндра;  $\delta = R_2 - R_1$ — величина зазора между цилиндрами.

В качестве масштаба температуры при введении безразмерной температуры  $\Theta$  выбирается величина  $\langle \Delta T \rangle$ , равная разности средней температу-

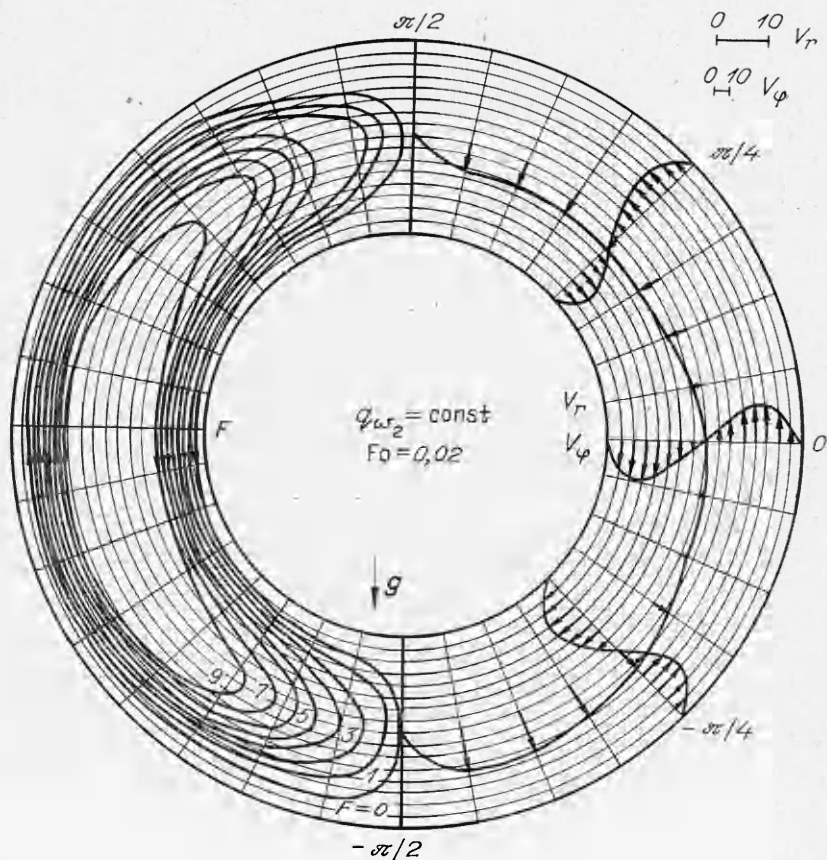
ры внешней поверхности и температуры внутренней, т. е.  $\langle \Delta T \rangle = \langle T_{w_2} \rangle - T_{w_1}$ .

Предполагается, что жидкость в кольцевой области в начальный момент неподвижна, а распределение температуры соответствует режиму теплопроводности. На внутреннем цилиндре поддерживается постоянная температура  $\Theta_{w_1} = T_{w_1}/\langle \Delta T \rangle$ , а на внешнем—постоянный тепловой поток  $q_{w_2}$ , что при введенном масштабе равносильно условию  $(\partial \Theta / \partial r)_{w_2} = 1$ . Начальное распределение  $\Theta(r, \varphi)$  в соответствии с уравнением теплопроводности при заданных граничных условиях имеет вид

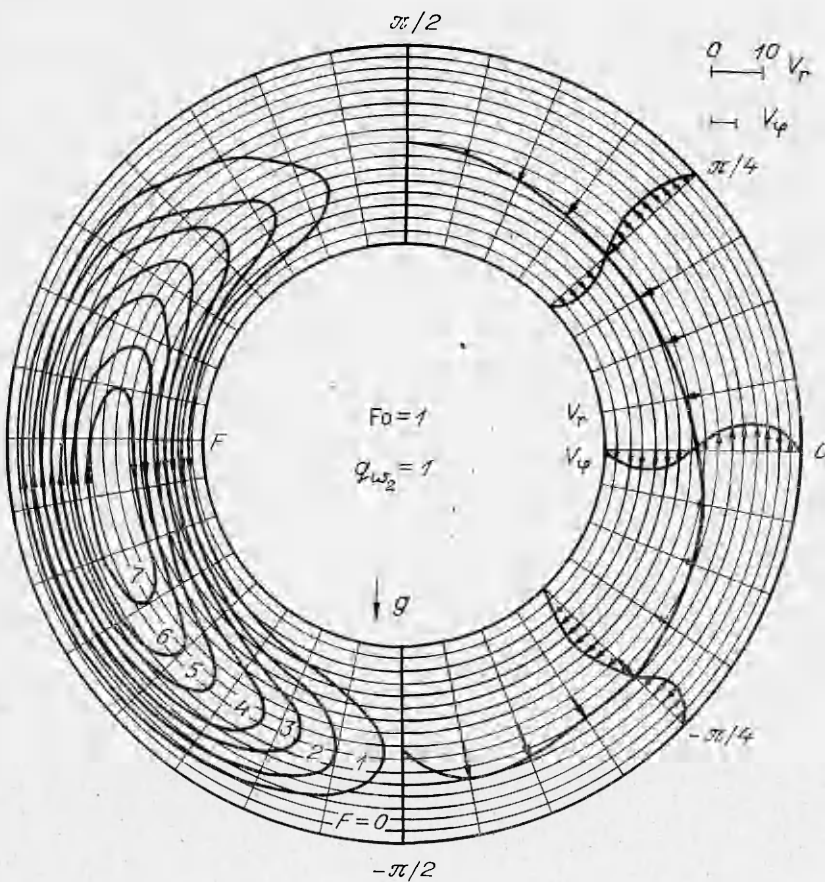
$$\Theta = r_2 \ln r/r_1 + \Theta_{w_1}.$$

В исходную систему уравнений входят следующие критерии подобия:  $Gr = g\beta (\langle T_{w_2} \rangle - T_{w_1})/v^2$  — критерий Грасгофа;  $Pr = v/a$  — число Прандтля;  $Fo = \tau = at/\delta^2$  — число Фурье.

При численном решении системы уравнений конвективного теплообмена после предварительного интегрирования их по элементарной ячейке сетки [1] использовался метод Зейделя; уравнение Пуассона решалось методом переменных направлений. Для аппроксимации производных на границах области использовались формулы второго порядка точности. Вычисление производилось на сетке  $17 \times 17$  для половины кольцевой области (предполагалось наличие симметрии относительно вертикальной



Фиг. 1



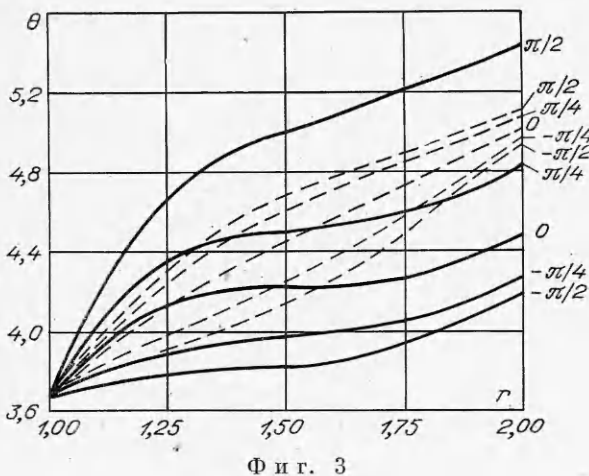
Фиг. 2

оси, проходящей через центр кольцевой прослойки). Отличие основных результатов расчета от полученных на более мелкой сетке  $22 \times 22$  составило не более 3%.

Развитие во времени циркуляционного движения и изменения радиальной  $V_r$  и тангенциальной  $V_\phi$  составляющих скорости в различных сечениях кольцевой области показано на фиг. 1, 2 ( $Gr = 10^4$ ,  $Pr = 0,7$ ,  $r_2/r_1 = 2$ ,  $g$  — ускорение гравитационного поля,  $\text{м}/\text{с}^2$ ). Если в начальный момент жидкость неподвижна, то при  $Fo = 0,02$  скорости достигают максимальных значений, а затем постепенно убывают, приближаясь к некоторым постоянным значениям ( $Fo = 1$ ), как это видно из сравнения фиг. 1 и 2. При этом центр вихря (вместе с ним и область минимальных скоростей) смещается вниз по мере установления стационарного состояния.

Характерно, что при увеличении числа Рэлея ( $Ra = GrPr$ ) значительно уменьшается время, при котором достигается максимальная интенсивность конвекции.

О начале влияния конвекции на поле  $\Theta(r, \phi)$  можно судить по появлению вертикальных разностей температуры. На фиг. 3 показано изменение во времени распределения температурных профилей при пяти значениях полярного угла  $\phi$  в режиме, определяемом числом  $Gr = 10^4$  ( $Pr = 0,7$ ,  $r_2/r_1 = 2$ ,  $q_{omega_2} = 1$ , сплошные кривые соответствуют  $Fo = 1$ , штриховые  $Fo = 0,02$ ).



Фиг. 3

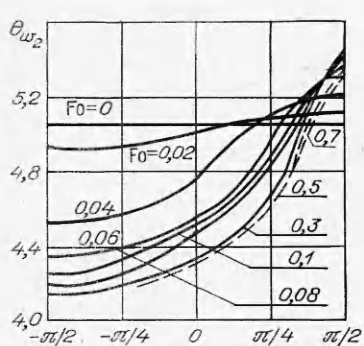
= 2). Постоянная при  $Fo = 0$  температура  $\Theta_{w_2}$  становится существенно неоднородной вдоль  $\varphi$  при увеличении  $Fo$  и, начиная с  $Fo = 0,3$ , практически не меняется со временем. Максимальный разброс  $\Theta_{w_2}$  на стационарном режиме составляет 25% от среднего значения в этом режиме ( $Gr = 10^4$ ).

Как следует из фиг. 5 ( $Pr = 0,7$ ), неоднородность температуры внешнего цилиндра на стационарном режиме увеличивается с ростом числа Грасгофа, причем происходит это в основном за счет уменьшения температуры стенки в нижней части кольцевой прослойки.

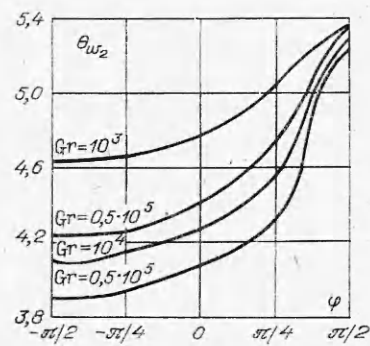
Исследования зависимости поля температур от чисел  $Gr$  и  $Fo$  выявляют три характерных режима: начальный режим, близкий теплопровод-

Одномерное  $\Theta = \Theta(r)$  при  $Fo = 0$  температурное поле начинает при  $Fo = 0,02$  испытывать на себе влияние конвекции. Температурные профили начинают расходиться и при  $Fo = 0,1$  достигают стационарного распределения с характерным для конвекции температурным расслоением.

Аналогичная закономерность имеет место в изменении температуры внешней стенки  $\Theta_{w_2}$  в зависимости от  $Fo$  (фиг. 4,  $Gr = 10^4$ ,  $Pr = 0,7$ ,  $r_2/r_1 =$



Фиг. 4



Фиг. 5

ности, когда  $\Theta = \Theta(Fo)$ ; переходный, в котором конвекция начинает влиять на распределение температур ( $\Theta = \Theta(Gr, Fo)$ ), и стационарный, при котором исчезает зависимость температуры от времени ( $\Theta = \Theta(Gr)$ ). Этот вывод согласуется с классификацией режимов течения и теплообмена при нестационарной конвекции в прямоугольной области, приведенной в работе [2].

Зная распределение температур в поле течения, можно вычислить локальные числа Нуссельта на границах области, которые определяются данном случае через локальные разности температур между внешней

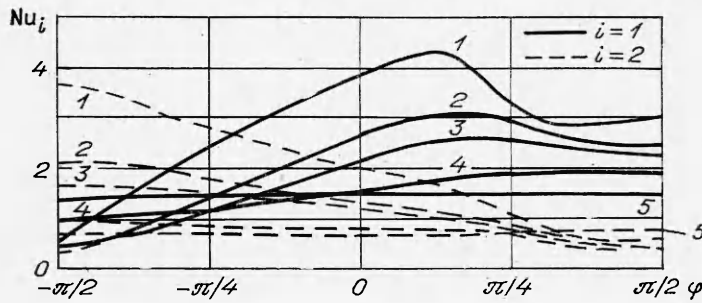
и внутренней стенками при каждом значении  $\varphi$

$$Nu_i(\varphi) = \left( \frac{\partial \Theta}{\partial r} \right)_i \frac{1}{\Delta \Theta}, \quad i = 1, 2,$$

а среднее число Нуссельта получается усреднением локальных значений по  $\varphi$  в интервале  $[-\pi/2, \pi/2]$  и равно

$$\langle Nu \rangle_i = \left\langle \frac{\partial \Theta}{\partial r} \right\rangle_i \frac{1}{\langle \Delta \Theta \rangle}.$$

Графики изменения  $Nu_i(\varphi)$  на внутренней и внешней стенках при различных числах Грасгофа представлены на фиг. 6 ( $I - Gr = 0,5 \cdot 10^5$ ,



Фиг. 6

$2 - Gr = 10^4, 3 - Gr = 0,5 \cdot 10^4, 4 - Gr = 10^3, 5 - \text{теплопроводность}, Pr = 0,7, r_2/r_1 = 2$ .

Следуя определению числа Нуссельта, функция  $Nu_2(\varphi)$  воспроизводит, по существу, зависимость, обратную  $\Theta_{w_2}(\varphi)$  (см. фиг. 5) при соответствующем числе  $Gr$ , так как  $\Theta_{w_2}(\varphi)$  с точностью до постоянной  $\Theta_{w_1}$  определяет локальную разность  $\Delta \Theta(\varphi)$ .

При увеличении числа  $Gr$  от  $10^3$  до  $0,5 \cdot 10^5$  происходит уменьшение локальных чисел  $Nu_2$  вдоль по течению нагретой жидкости от  $\varphi = -\pi/2$  к  $\varphi = \pi/2$  около внешней цилиндрической стенки. При некотором значении  $\varphi$  в интервале  $[\pi/4, \pi/2]$  местные числа  $Nu$  становятся меньше, чем в режиме теплопроводности, так как разность температур  $(\Theta_{w_2} - \Theta_{w_1})$  в этой области на стационарном режиме становится больше, чем  $\Delta \Theta$  при теплопроводности.

Таким образом, при наличии постоянного теплового потока вдоль поверхности внешнего цилиндра распределение локальных чисел  $Nu$  по  $\varphi$  тем больше отличается от соответствующей зависимости в режиме чистой теплопроводности, чем существеннее изменяется  $\Theta_{w_2}$  вдоль  $\varphi$  (см. фиг. 5).

Что касается семейства кривых  $Nu_1(\varphi)$ , построенных при различных числах  $Gr$  (см. фиг. 6), то их надо анализировать с учетом изменения локальных тепловых потоков  $(\partial \Theta / \partial r)_1$  вдоль поверхности внутреннего цилиндра. При движении жидкости вниз около холодной цилиндрической стенки локальные градиенты температуры уменьшаются вдоль  $\varphi$  вследствие увеличения толщины пограничного слоя. Ввиду нормировки их на различные  $\Delta \Theta(\varphi)$  вид кривых  $Nu_1(\varphi)$  отличается от аналогичных зависимостей в случае изотермических границ [1].

Это отличие начинает сказываться на числах  $Gr > 10^3$ , когда неравномерность  $\Theta_{w_2}$  вдоль  $\varphi$  становится существенной. Наблюдается подъем кривых, выражающих зависимость  $Nu_1$  от  $\varphi$  при  $\pi/2 > \varphi > \pi/8$ , несмотря на уменьшение локальных тепловых потоков, что объясняется резким уменьшением перепада  $\Delta\Theta(\varphi)$  в этом интервале  $\varphi$  (см. фиг. 5). При дальнейшем изменении  $\varphi$  от  $\pi/8$  до  $-\pi/2$  резкое уменьшение  $\Delta\Theta(\varphi)$  прекращается, что приводит к уменьшению чисел  $Nu$  в указанном интервале  $\varphi$ . При некотором значении  $\varphi$  местные числа  $Nu$  становятся ниже, чем в неподвижной жидкости.

Максимумы кривых  $Nu_1(\varphi)$  (см. фиг. 6) смещаются по мере увеличения чисел  $Gr$ . Это соответствует смещению вправо точки, в которой происходит резкое уменьшение  $\partial\Theta/\partial\varphi$  (см. фиг. 5).

Резкое изменение характера кривых  $\Theta_{w_2}(\varphi)$  при  $\varphi \approx \pi/4$  объясняется значительным понижением уровня скоростей в окрестности этой точки.

Для характеристики интенсивности теплообмена при различных режимах течения была получена зависимость коэффициента конвекции, определяемого формулой

$$\varepsilon_k = \langle Nu \rangle_i r_i \ln \frac{r_2}{r_1}, \quad i = 1, 2,$$

от числа Рэлея.

В процессе установления стационарного состояния зависимость  $\varepsilon_k = \varepsilon_k(Ra, Fo)$  с ростом числа  $Fo$  переходит в  $\varepsilon_k = \varepsilon_k(Ra)$ . Граница установления стационарного режима теплообмена при конвективном движении аппроксимируется приближенной формулой  $Fo = 1,52/Ra^{0.12}$ .

На стационарном режиме график зависимости  $\varepsilon_k$  от критерия Рэлея аппроксимируется критериальной формулой  $\varepsilon_k = 0,257Ra^{0.21}$ .

При сравнении с аналогичной зависимостью в случае изотермических стенок выясняется, что при малых  $Ra$  ( $Ra < 2300$ ) теплообмен интенсивнее при условии  $q_{w_2} = \text{const}$ , в то время как при больших  $Ra$  — в случае  $\Theta_{w_2} = \text{const}$ . Это объясняется перераспределением температуры внешней стенки при наличии постоянного теплового потока на ней и образованием в верхней части области застойной нагретой зоны, препятствующей теплосъему с нагретой стенки.

Поступила 4 V 1976

#### ЛИТЕРАТУРА

- Петражицкий Г. Б., Бекнева Е. В., Брайловская В. А., Станкевич Н. М. Расчет течения и теплообмена при свободном движении жидкости в горизонтальном кольцевом канале. — «Вестн. Львов. политехн. ин-та. Вопросы электро- и теплоэнергетики», 1970, № 46.
- Полежаев В. И. Нестационарная ламинарная тепловая конвекция в замкнутой полости при заданном потоке тепла. — «Изв. АН СССР. МЖГ», 1974, № 4.